

## شبیه‌سازی رفتار حرارتی یک گلخانه یک‌طرفه با استفاده از مدل دینامیکی

دانشجوی دکتری، گروه مهندسی بیوپردازی، دانشگاه تبریز، تبریز، ایران

دانشیار، گروه مهندسی بیوپردازی، دانشگاه تبریز، تبریز، ایران

استادیار، گروه مهندسی مکانیک، دانشگاه تبریز، تبریز، ایران

استادیار، گروه مهندسی باغبانی، دانشگاه تبریز، تبریز، ایران

حسن قاسمی‌مبتکر\*

یحیی عجب‌شیرچی

سیدفرامرز رنجبر

منصور مطلاوبی

### چکیده

یکی از بهترین اقدامات جهت ایجاد شرایط بهینه رشد گیاهان در داخل گلخانه ارائه مدل‌های دقیق برای کنترل شرایط داخلی گلخانه است. در این مطالعه با استفاده از مدل ریاضی میزان تابش کل خورشیدی (مستقیم، پخش و بازتابش شده از زمین) عبوری از پوشش یک گلخانه یک‌طرفه بدون گیاه واقع در دانشگاه تبریز محاسبه شد. همچنین با توسعه یک مدل دینامیکی انتقال گرما، دمای‌های داخلی گلخانه شامل دمای هوای گلخانه، دمای سطح خاک و دمای سطح داخلی گلخانه پیش‌بینی شد. ورودی‌های مدل شامل پارامترهای هواشناسی اندازه‌گیری شده و خواص ترموفیزیکی اجزای گلخانه بود. نتایج نشان داد که تبادل گرمایی سطح خاک بیشترین اثر را بر تغییرات دمایی هوای داخل گلخانه دارد. مقایسه نتایج حاصل از مدل با داده‌های اندازه‌گیری نشان داد برای هوای داخلی گلخانه، بین مقادیر اندازه‌گیری شده و پیش‌بینی شده همسنگی بالایی وجود دارد. ضریب همبستگی و میانگین درصد خطای برای این مدل به ترتیب برابر با ۰/۹۹ و ۳/۶۲٪ بود. همچنین میانگین درصد خطای برای این داده‌ها ۳/۶۲٪ بود. نتایج همچنین نشان داد بخش اعظم تابش ورودی به داخل گلخانه از طریق تابش و همرفت به بیرون تلف می‌شود.

**واژه‌های کلیدی:** مدل دینامیکی، گلخانه یک‌طرفه، تابش خورشیدی، دمای هوای گلخانه.

## A Dynamic Model for Simulation of Thermal Behavior in Single Span Greenhouse

H. Ghasemi Mbtaker

Biosystems Engineering, University of Tabriz, Tabriz, Iran

Y. Ajabshirchi

Biosystems Engineering, University of Tabriz, Tabriz, Iran

S. F. Ranjbar

Mechanical Engineering, University of Tabriz, Tabriz, Iran

M. Matloobi

Horticultural engineering, University of Tabriz, Tabriz, Iran

### Abstract

One of the best ways to provide optimum conditions to the crop is the development of accurate greenhouse models for inside environment control. In this study a mathematical model was developed for computing transmitted total solar radiation (beam, diffused and ground reflected), for the single span greenhouse, without crops, was performed in Tabriz University. Also a dynamic model was developed to predict the all internal temperatures of the greenhouse including greenhouse inside air, soil surface and north wall temperature. The input parameters of the model were the measured meteorological conditions and the thermo-physical properties of the greenhouse components. Results showed that soil surface heat exchange has a positive contribution to the internal air temperature. Comparisons between the predicted and measured results showed close agreement for greenhouse air temperature. The correlation coefficient and mean percentage error for this model were calculated as 0.99 and -3.62%, respectively. Results also showed a considerable amount of the incident radiation was lost to outside the greenhouse by convection and radiation.

**Keywords:** Dynamic model, Single span greenhouse, Solar radiation, Greenhouse air temperature.

بررسی اقلیم داخلی گلخانه می‌پردازند، فهم دقیقی از عناصر گلخانه را فراهم آورده و کنترل آن را به بهترین شکل ممکن فراهم می‌آورد [۱]. پیش‌بینی شرایط داخلی گلخانه و امکان استفاده از سیستم‌های کنترل خودکار، دو هدف اصلی مدل‌های شبیه‌سازی شده هستند. مدل‌های شبیه‌سازی شده به دو صورت پایا و دینامیک ارائه می‌شوند و با استفاده از داده‌های هواشناسی و پارامترهای طراحی، شرایط گلخانه را پیش‌بینی می‌کنند [۲]. مدل‌های دینامیک به علت دقت بالای آنها نسبت به مدل‌های پایا بیشتر مورد استفاده قرار گرفته‌اند.

مدل‌های پایا و دینامیکی زیادی برای شبیه‌سازی شرایط داخلی گلخانه‌ها ارائه شده است. تراگوا و همکاران [۴] الگوریتمی توسعه دادند که بهوسیله آن شرایط پویای گلخانه را به منظور بهینه کردن شرایط گلخانه پیش‌بینی گوجه‌فرنگی در ایالات کبک کانادا پیش‌بینی کنند. معادلات آنها شامل معادلات تعادلی گرمای محسوس برای محاسبه

### ۱- مقدمه

امروزه با توجه به افزایش روزافزون جمعیت جهان و کاهش زمین‌های قابل کشت، استفاده از گلخانه‌های کشاورزی به شدت در حال گسترش است. کنترل شرایط داخلی گلخانه نه تنها رشد گیاهان را تحت تأثیر قرار می‌دهد، بلکه عامل مهمی در کنترل آفات و بیماری‌های داخل گلخانه است. مهم‌ترین عواملی که شرایط داخلی گلخانه را تحت تأثیر قرار می‌دهند شامل دمای هوای داخل گلخانه، دمای خاک، رطوبت نسبی، شدت نور در داخل گلخانه و غلظت گاز دی‌اکسید کربن است [۱].

مدل‌های شبیه‌سازی شده از شرایط داخلی گلخانه و گیاه می‌تواند ما را در طراحی بهترین گلخانه برای هر شرایط اقلیمی یاری رساند و امکان مدیریت عناصر داخلی آن را به بهترین شکل ممکن فراهم آورد. استفاده از مدل‌های پیشگو که با استفاده از داده‌های هواشناسی به

\* نویسنده مکاتبه کننده، آدرس پست الکترونیکی: mr.mbtaker@yahoo.com

تاریخ دریافت: ۹۴/۰۸/۱۴

تاریخ پذیرش: ۹۴/۱۰/۰۲

میزان انرژی گرمایی لازم برای گرمایش، معادلات تعادلی گرمای نهان که به صورت تغییر در مقدار بخار آب گلخانه درنظر گرفته شد و همچنین موادن جرم دی اکسید کربن که برای محاسبه عملکرد میوه و سرعت تزریق  $\text{CO}_2$  استفاده می شود، بود. نتایج نشان داد مدل رائمه شده با پیشینه خطای  $3\%$  قادر به پیشینی پارامترهای مورد نظر است. عبدالغفاری و کوزای [۵] برای پیشینی دمای هوا، خاک، گیاه، پوشش و همچنین میزان رطوبت نسبی گلخانه، یک مدل شبیه سازی دینامیکی بود. ورودی های این مدل شامل شرایط محیطی و خواص ترمودینامیکی و فیزیکی اجزای گلخانه بود. برای اعتبارسنجی مدل از یک گلخانه شمالی-جنوبی با پوشش شیشه استفاده شد و آزمایشات در بک روز تابستانی انجام شد. مقایسه نتایج مدل و نتایج حاصل از اندازه گیری نشان داد که مدل به خوبی قادر به پیشینی پارامترهای مورد نظر است.

سنگار و کوتاری [۶] از یک گلخانه تونلی شکل برای پرورش گیاهان استفاده کرده و با استفاده از مدل های ریاضی به پیشینی و بررسی پارامترهای داخل گلخانه پرداختند. گلخانه در جهت شرقی-غربی بود و با پوشش پلی اتیلن پوشانده شده بود. نتایج نشان داد در شرایطی که تابش خورشیدی زیاد و دمای محیط پایین است، تغییرات در دمای هوا گلخانه بیشتر از شرایطی است که دمای محیط بالا و تابش خورشیدی کم است. نتایج حاصل از اندازه گیری تجربی با داده های مدل نشان داد که مدل به خوبی قادر به پیشینی دمای هوا داخل گلخانه است. روابط عمومی میزان انرژی جذب شده در اجزای گلخانه و همچنین میزان انرژی اتلاف شده به محیط بیرون توسط عبدالغفاری و الهلال [۳] بررسی شد. این روابط با درنظر گرفتن تمام فعل و انفعالات موجود که در بین اجزای گلخانه انجام می شود، بررسی شد و گلخانه بدعوای یک کلکتور درنظر گرفته شد که شامل صفحه جاذب (خاک گلخانه) و محیط نیمه شفاف (پوشش گلخانه، هوای داخل آن و پوشش گیاهی) بود. برای اعتبارسنجی مدل رائمه شده از یک گلخانه با پوشش پلاستیکی که با سیستم فن و صفحه مرتبط خنک می شد، استفاده شد. آنها گزارش کردند که مدل رائمه شده قادر به تعیین میزان انرژی جذب شده در اجزای گلخانه و همچنین میزان اتلاف شده است.

ماشونجو و همکاران [۲] برای مدل سازی گلخانه رز در زیمباوه، از یک مدل پویا که قبل از برای بررسی محیط گلخانه گوجه فرنگی در اروپا رائمه شده بود استفاده کردند. این مدل شامل معادلات مختلفی بود که بر اساس تعادل انرژی در لایه های مختلف گلخانه بنا شده است. ورودی های مدل شامل شدت تابش خورشیدی، دمای محیط بیرون و ضریب انتقال پوشش گلخانه و خروجی های مدل شامل دمای اجزای گلخانه بود. برای اعتبارسنجی مدل از یک گلخانه تجاری که در آن گل رز کاشته شده بود استفاده شد. نتایج نشان داد بین داده های تجربی و داده های حاصل از مدل همبستگی بالای وجود دارد. جودی و فرهان [۱] برای پیشینی دمای هوا گلخانه مدل دینامیکی رائمه کردند که شامل معادلات تراز انرژی در پنج زیر بخش بود. این زیر بخش ها شامل پوشش، هوای داخل، سطح خاک و دو لایه خاک زیرین گلخانه بود. ورودی های مدل شامل داده های هوشناسی و پارامترهای ترموفیزیکی گلخانه بود. نتایج نشان داد بین داده های حاصل از پیشینی مدل و

اندازه گیری تجربی همبستگی بالای وجود دارد.  
هدف از این مطالعه پیشینی دمای هوای گلخانه با استفاده از شبیه سازی رایانه ای می باشد. بدین منظور مدلی شامل معادلات تعادل انرژی در قسمت های مختلف گلخانه شامل پوشش، هوای داخل، دیواره شمالی و سطح خاک گلخانه رائمه شد. برای اعتبارسنجی مدل از یک گلخانه یک طرفه شرقی- غربی، با دیواره شمالی آجری استفاده شد.

## ۲- مواد و روش ها

این مطالعه در شهرستان تبریز انجام شد. طول و عرض جغرافیایی و ارتفاع از سطح دریا در این شهر براساس داده های اداره کل هوشناسی به ترتیب برابر  $48^{\circ}18'$  شرقی،  $38^{\circ}10'$  شمالی و  $1364$  متر می باشد. اندازه گیری ها در یک گلخانه یک طرفه شرقی- غربی که دیواره شمالی آن آجری بود انجام شد. اسکلت اصلی گلخانه از آهن و سطح آن با شیشه به ضخامت  $4 \text{ mm}$  پوشانده شده بود. شکل (۱) نمای گلخانه را نشان می دهد. برای شبیه سازی رفتار گرمایی، گلخانه به چهار زیر بخش شامل پوشش، هوای داخل، دیواره شمالی و سطح خاک گلخانه تقسیم شد و معادلات تعادل انرژی در هر یک از این زیر بخش ها نوشته شد. این معادلات با فرض های زیر نوشته شد:

- گلخانه بدون گیاه درنظر گرفته شد.
- از خاصیت جذب و گسیل انرژی تابشی هوای داخل گلخانه صرف نظر شد.
- از تبخیر سطح خاک گلخانه چشم پوشی شد.

### ۲-۱- معادلات تعادل انرژی در پوشش گلخانه

معادلات تعادل در پوشش شامل جذب تابش خورشیدی در پوشش، تبادل تابشی با آسمان، تبادل تابشی با سطح خاک گلخانه و دیواره شمالی، تبادل هم رفتی با هوای داخل و تبادل هم رفتی با هوای محیط است. بدین منظور از رابطه (۱) استفاده شد:

$$(1) M_c C_c \frac{dT_c}{dt} = q_{sc} + q_{r,c}^{net} + q_{cor-c} - q_{co-c-a}$$

تابش خورشیدی جذب شده در پوشش شامل جذب تابش در سطح بیرونی پوشش و جذب تابش بازتابش شده از سطح خاک و دیواره شمالی در سطح داخلی پوشش می باشد و با استفاده از رابطه (۱-۱) محاسبه شد:

$$(1-1) q_{sc} = \alpha_c S_t + \alpha_{ct} S_{ti} ((1 - F_t)(1 - \alpha_g) + F_n(1 - \alpha_w))$$

برای محاسبه میزان تابش حرارتی خالص در پوشش گلخانه از رابطه (۲-۱) استفاده شد. در بسیاری از مطالعات از این تبادل تابشی صرف نظر شده است [۷-۹]. در این رابطه تبادل تابشی سطح بیرونی پوشش با آسمان و تبادل تابشی سطح داخلی پوشش با سطح داخلی دیواره شمالی و سطح خاک گلخانه در نظر گرفته شده است. برای محاسبه تبادل تابشی سطح داخلی پوشش با سطح داخلی دیواره شمالی و سطح خاک گلخانه از مفهوم مقاومت سطح در برابر تابش استفاده شد. بدین منظور با استفاده از شکل (۲) و روابط (۱-۲-۱) تا (۵-۲-۱) آهنگ انتقال آهنگ خالص تابشی از سطوح محاسبه شد. باید توجه داشت که مقدار مثبت  $Q_e$  به مفهوم این است که سطح انرژی از دست می دهد و مقدار منفی آن به این معناست که سطح انرژی دریافت می کند [۱۰].

$$\begin{aligned} Q_w &= \frac{E_{bw} - J_w}{R_w}, \\ E_{bc} &= \epsilon_c \sigma T_c^4, \\ E_{bg} &= \epsilon_g \sigma T_g^4, \\ E_{bw} &= \epsilon_w \sigma T_{wi}^4 \end{aligned} \quad (2-2-1)$$



$$q_{r,c}^{net} = -[\sigma A_c (\epsilon_c T_c^4 - \alpha_{ct} \epsilon_{sky} T_{sky}^4)] - Q_c \quad (2-1)$$

$$\begin{aligned} Q_c &= \frac{E_{bc} - J_c}{R_c}, \\ Q_g &= \frac{E_{bg} - J_g}{R_g} \end{aligned} \quad (1-2-1)$$



شکل ۱- نمایی از گلخانه مورد استفاده در مطالعه

سایر روابط که در رابطه (۱) معرفی شدند به صورت زیر محاسبه شدند [۵]:

$$q_{co,r-c} = A_c h_{co,r-c} (T_r - T_c) \quad (3-1)$$

$$q_{co,c-a} = A_c h_{co,c-a} (T_c - T_a) \quad (4-1)$$

$$T_{sky} = 0.0552 (T_a)^{1.5}, \quad T_a \text{ in } (K) \quad (5-1)$$

$$h_{co,r-c} = 1.95 (T_r - T_c)^{0.3}, \quad (T_c - T_r) \leq 11.1^\circ C \quad (6-1)$$

$$h_{co,c-a} = 0.95 + 6.76 (V)^{0.49}, \quad T_c > T_a \text{ and } V \leq 6.3 \text{ ms}^{-1} \quad (7-1)$$

## ۲-۲- معادلات تعادل انرژی در دیواره شمالی

معادلات تعادل در دیواره شمالی شامل جذب تابش خورشیدی در دیواره شمالی، تبادل تابشی با آسمان، تبادل تابشی با سطح خاک گلخانه و پوشش، تبادل همرفتی با هوای داخل و تبادل همرفتی با هوای محیط است. بدین منظور از رابطه (۲) استفاده شد:

$$M_w C_w \frac{dT_{wi}}{dt} = q_{sw} + q_{r,w}^{net} + q_{co,r-w} - q_{co,w-a} \quad (2)$$

هر یک از زیر بخش‌های رابطه (۲) با استفاده از روابط (۱-۲) تا (۶-۲) محاسبه شدند [۱۳-۱۱]. همچنین در این روابط فاکتور کسر تابش خورشیدی فرودی به دیواره شمالی با استفاده از تحلیل سه بعدی سایه محاسبه شد [۱۴ و ۱۵].

$$q_{sw} = \alpha_w F_n S_{ti} \quad (1-2)$$

$$q_{r,w}^{net} = -[\sigma A_w (\epsilon_w T_{wo}^4 - \alpha_{wt} \epsilon_{sky} T_{sky}^4)] - Q_w \quad (2-2)$$

$$q_{co,r-w} = A_w h_{co,r-w} (T_r - T_{wi}) \quad (3-2)$$

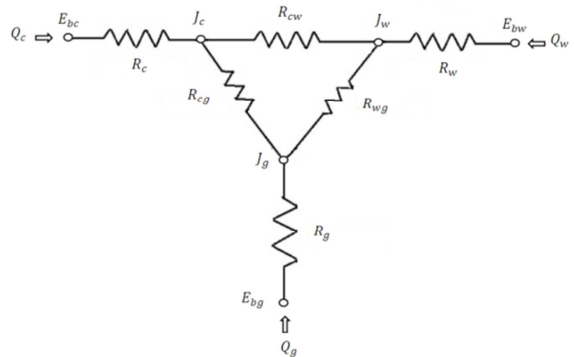
$$q_{co,w-a} = A_w h_{co,w-a} (T_{wo} - T_a) \quad (4-2)$$

$$h_{co,r-w} = 2.8 \quad (5-2)$$

$$h_{co,w-a} = 1.42 \left( \frac{T_{wo} - T_a}{x} \right)^{0.25} \quad (6-2)$$

## ۳-۲- معادلات تعادل انرژی در خاک

بخش اعظم تابش خورشیدی به سطح خاک گلخانه می‌رسد و از طریق گرم شدن خاک باعث گرمایش گلخانه می‌شود. معادلات تعادل



شکل ۲- شبکه تابش مربوط به سطوح داخلی پوشش و دیواره شمالی و سطح خاک گلخانه

$$\begin{aligned} \frac{E_{bc} - J_c}{R_c} + \frac{J_w - J_c}{R_{cw}} + \frac{J_g - J_c}{R_{cg}} &= 0, \\ \frac{E_{bg} - J_g}{R_g} + \frac{J_c - J_g}{R_{cg}} + \frac{J_w - J_g}{R_{wg}} &= 0 \end{aligned} \quad (3-2-1)$$

$$\frac{J_c - J_w}{R_{cw}} + \frac{J_g - J_w}{R_{wg}} + \frac{E_{bw} - J_w}{R_w} = 0, \quad (4-2-1)$$

$$R_c = \frac{1 - \epsilon_c}{A_c \epsilon_c}, \quad R_g = \frac{1 - \epsilon_g}{A_g \epsilon_g}, \quad (4-2-1)$$

$$R_w = \frac{1 - \epsilon_w}{A_w \epsilon_w}, \quad R_{cw} = \frac{1}{A_c F_{c-w}}, \quad (5-2-1)$$

$$R_{cg} = \frac{1}{A_c F_{c-g}}, \quad R_{wg} = \frac{1}{A_w F_{w-g}}, \quad (5-2-1)$$

مساحت  $0.25 \text{ m}^2$  در دیواره غربی تعییه شد. شیب سقف این گلخانه  $26/6^\circ$  نسبت به سطح افق، ارتفاع دیواره شمالی  $2/4 \text{ m}$  بود و ارتفاع دیواره کوچک جنوبی  $0.8 \text{ m}$  بود. مساحت کل پوشش گلخانه برابر با  $42/77 \text{ m}^2$  بود که  $31/25 \text{ m}^2$  آن با شیشه  $4 \text{ mm}$  و باقی با مساحت  $11/52 \text{ m}^2$  با استفاده از دیواره آجری سفالی با دو رویه سیمان (دیواره شمالی) پوشیده شد. شدت تابش خورشید در سطح افق با استفاده از دستگاه تابش سنج (مدل TES 1333)  $\text{Wm}^{-2}$  رنج اندازه‌گیری  $0-2000$  و دقت قرائت  $\text{Wm}^{-2}$  (۱) به فاصله زمانی نیم ساعت اندازه‌گیری شد. سپس با استفاده از روابط ریاضی، میزان تابش مستقیم، پخش و بازتابش شده از زمین که به سطوح شیبدار گلخانه می‌رسد محاسبه شد. برای محاسبه میزان تابش عبوری از پوشش شیشه‌ای از قانون فرنل و بویگر استفاده شد [۸ و ۱۷].

دمای هوای گلخانه، پوشش شیشه‌ای، سطح خاک، دیواره شمالی در داخل و خارج گلخانه و دمای محیط با استفاده از حسگر دمایی به فاصله زمانی  $5$  دقیقه اندازه‌گیری شد. اندازه‌گیری دمای محیط در ارتفاع یک متری و در داخل یک جعبه چوبی انجام شد. برای اندازه‌گیری دما از حسگرهای مدل SHT11 استفاده شد. رنج اندازه‌گیری دما برای این حسگر در محدوده  $123/8^\circ\text{C}-40/0^\circ\text{C}$ - می‌باشد و دقت آن در محدوده دمایی  $0-50^\circ\text{C}$  در حد  $0.5^\circ\text{C}$  است. این سنسور قابلیت اندازه‌گیری همزمان دما و رطوبت را دارد و از دقت فوق العاده بالایی برخوردار است. هر کدام از این حسگرها به طور جداگانه و با استفاده از برنامه میکروکنترلر طوری تنظیم شدند که در فاصله زمانی خواسته شده به صورت همزمان دما و رطوبت را اندازه گرفته و ثبت کنند.

### ۳- نتایج و بحث

شدت تابش خورشیدی در یک روز تابستان در سطح افق و با استفاده از تابش سنج اندازه‌گیری شد و با استفاده از روابط ریاضی، میزان تابش کل و رودی به داخل گلخانه محاسبه شد. شکل (۳) میزان تابش دریافتی کل و همچنین تابش ورودی در هر یک از دیواره‌ها و سقف گلخانه یک‌طرفه را نشان می‌دهد. همان‌طور که مشاهده می‌شود بخش عمده تابش دریافتی گلخانه از طریق سقف جنوبی اتفاق می‌افتد. نتایج نشان دادند در این نوع گلخانه به طور متوسط حدود  $72\%$  تابش دریافتی از سقف جنوبی جذب می‌شود. همچنین دیواره جنوبی کمترین میزان جذب را به خود اختصاص داده بود (حدود  $7/0\%$ ). گویتا و تیواری [۱۸] گزارش کردند که سقف‌های جنوبی گلخانه کوانت است شکل و به خصوص سقف بالایی بیشترین تابش خورشیدی را شرایط آب و هوایی هند دریافت می‌کنند.

در شکل (۴) تغییرات دمایی محیط و اجزای داخلی گلخانه در یک روز تابستان نشان داده است. همان‌طور که مشاهده می‌شود در برخی موارد داده‌ها با نوسان همراه است که ناشی از خطای وسائل اندازه‌گیری می‌باشد. نتایج نشان داد با افزایش شدت تابش خورشیدی دمای هوای داخل گلخانه، دمای سطح خاک و دمای سطح داخلی دیواره شمالی افزایش می‌یابد و به بیشینه خود در حدود ساعت  $13$  می‌رسد. ماکریم دمای محیط در روز آزمایش  $36/1^\circ\text{C}$  و بیشینه دمای هوای داخلی گلخانه  $65/6^\circ\text{C}$  ثبت شد که حاکی از اختلاف

در سطح خاک شامل جذب تابش خورشیدی در سطح خاک، تبادل تابشی با دیواره شمالی و پوشش، تبادل همرفتی با هوای داخل و تبادل رسانش با خاک عمقی است. بدین منظور از رابطه (۳) استفاده شد [۱۶]:

$$M_g C_g \frac{dT_g}{dt} = q_{sg} + q_{r,g}^{net} - q_{co,g-r} - q_{kg} \quad (3)$$

$$q_{sg} = \alpha_g (1 - F_t) S_{ti} \quad (1-3)$$

$$q_{r,g}^{net} = -Q_g \quad (2-3)$$

$$q_{co,g-r} = A_g h_{co,g-r} (T_g - T_r) \quad (3-3)$$

$$q_{kg} = \frac{k_g A_g (T_g - T_0)}{z} \quad (4-3)$$

$$h_{co,g-r} = 2.8 \quad (5-3)$$

### ۴-۲- معادلات تعادل انرژی در هوای گلخانه

برای تعیین دمای هوای گلخانه که مهم‌ترین فاکتور در طراحی گلخانه می‌باشد، باید تمامی روابط حاکم بین اجزای گلخانه و هوای در نظر گرفت. بدین منظور در این مطالعه از رابطه (۴) استفاده شد:

$$M_r C_a \frac{dT_r}{dt} = q_{co,g-r} - q_{co,r-w} - q_{co,r-c} \quad (4)$$

برای حل معادلات (۱) تا (۴) از نرم‌افزار متلب (Matlab) R2009a استفاده شد. مقادیر اندازه‌گیری شده دما در شروع آزمایش به عنوان مقادیر اولیه مدل در نظر گرفته شد و مقادیر پیش‌بینی شده در هر مرحله به عنوان مقادیر اولیه مرحله بعد مورد استفاده قرار گرفت. پیش‌بینی‌ها در هر  $5$  دقیقه انجام شد و در این فاصله زمانی مقادیر دما و تابش ثابت فرض شد. همچنین مقادیر ثابت جدول (۱) به عنوان ورودی مدل استفاده شد.

جدول ۱- مقادیر ثابت به عنوان ورودی در مدل

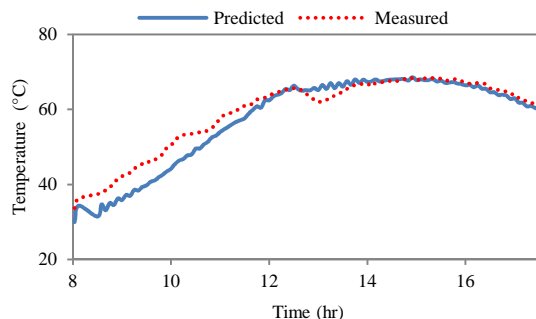
| پارامتر          | مقدار    | پارامتر   | مقدار    |
|------------------|----------|-----------|----------|
| $M_g$            | $31/25$  | $A_c$     | $236.0$  |
| $M_r$            | $15/36$  | $A_g$     | $26/8$   |
| $M_w$            | $11/52$  | $A_w$     | $2777/5$ |
| $z$              | $100.9$  | $C_a$     | $0/5$    |
| $\alpha_c$       | $84.0$   | $C_c$     | $0/10$   |
| $\alpha_{ct}$    | $88.0$   | $C_g$     | $0/95$   |
| $\alpha_g$       | $79.5$   | $C_w$     | $0/86$   |
| $\alpha_w$       | $0/39$   | $F_{c-g}$ | $0/91$   |
| $\alpha_{wt}$    | $0/27$   | $F_{c-w}$ | $0/85$   |
| $\epsilon_c$     | $0/79$   | $F_{g-c}$ | $0/94$   |
| $\epsilon_g$     | $0/28$   | $F_{w-g}$ | $0/93$   |
| $\epsilon_{sky}$ | $1$      | $k_g$     | $0/8$    |
| $\epsilon_w$     | $537/82$ | $M_c$     | $0/94$   |

### ۵-۲- اندازه‌گیری‌های تجربی

اندازه‌گیری‌ها در یک روز گرم تابستان در یک گلخانه یک‌طرفه شرقی- غربی واقع در ساختمان شماره ۲ دانشکده کشاورزی دانشگاه تبریز انجام شد (شکل ۱). اسکلت اصلی گلخانه با استفاده از پروفیل آهنی ساخته شد و برای اتصالات از جوش استفاده شد. درب گلخانه در سمت شرق گلخانه به مساحت  $1/67 \text{ m}^2$  و محفظه تهویه آن به

دارد. ضریب همبستگی برای داده‌های تجربی و پیش‌بینی شده دمای هوای داخلی گلخانه  $0.99$  بود. همچنین میانگین درصد خطا برای این داده‌ها  $3.62\%$  بود. آمد که حاکی از دقت بالای مدل ارائه شده برای دمای هوای داخلی گلخانه می‌باشد. شاخص‌های میانگین خطا و ریشه میانگین مربعات خطا برای این داده‌ها به ترتیب برابر با  $0.19^{\circ}\text{C}$  و  $0.22^{\circ}\text{C}$  بودند. وجودی و فرهان [۱] مدلی برای تخمین دمای داخلی گلخانه ارائه کردند. آنها گزارش کردند که میانگین درصد خطا برای مدل آنها  $8.8\%$  است. در مطالعه دیگری ماشونجو و همکاران [۲] برای مدل سازی گلخانه از یک مدل دینامیک استفاده کردند و با استفاده از پارامترهای گلخانه و داده‌های هواشناسی دمای هوای داخلی گلخانه را تخمین زدند. مقدار میانگین خطا برای مدل آنها برای تایستان و زمستان به ترتیب برابر با  $0.13^{\circ}\text{C}$  و  $0.18^{\circ}\text{C}$  بودند.

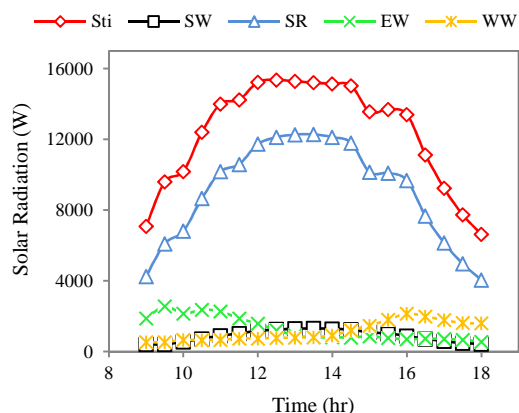
نتایج شبیه‌سازی برای پیش‌بینی دمای سطح داخلی دیواره شمالی از دقت کمتری نسبت به دمای هوای داخلی گلخانه برخوردار بود. میانگین درصد خطا برای این داده‌ها  $77.54\%$  بود. همچنین شاخص‌های میانگین خطا و ریشه میانگین مربعات خطا برای این داده‌ها به ترتیب برابر با  $8.83^{\circ}\text{C}$  و  $5.58^{\circ}\text{C}$  بودند. یکی از دلایل این خطا به دلیل مشخص نبودن دقیق میزان تابش فرویدی به دیواره شمالی است. همان‌طور که اشاره شد در این مطالعه برای تعیین توزیع تابش در داخل گلخانه و محاسبه کسر تابش خورشیدی فرویدی به دیواره شمالی از تحلیل سه بعدی سایه استفاده شد. این روش در مطالعات زیادی مورد استفاده قرار گرفته است [۱۵ و ۱۶]. این روش بر پایه شبیه‌سازی کامپیوترویی است بنا شده است و لازم است با اندازه‌گیری‌های دقیق میزان تابش در دیواره و کف گلخانه، مقدار دقیق آن تعیین شود.



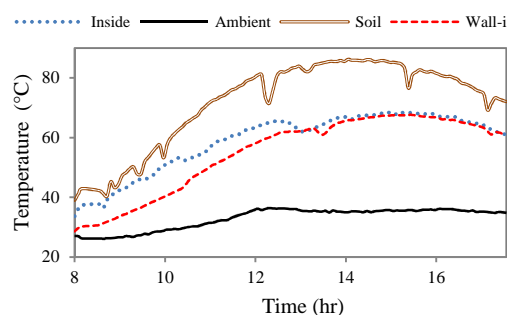
شکل ۵- مقادیر اندازه‌گیری شده و پیش‌بینی شده دمای هوای داخل گلخانه در مدت آزمایش

در مورد دمای خاک گلخانه نتایج مدل رضایت‌بخش نبود. البته برای داده‌های این دما شاخص ضریب همبستگی بالا بود ( $0.96$ ). که حاکی از تشخیص روند تغییرات دمای خاک توسط مدل است. اما خطای مدل بالا به دست آمد (میانگین خطای حدود  $14^{\circ}\text{C}$ ). همان‌طور که در بخش (۳-۲) هم اشاره شد، بخشی از تابش رسیده به سطح خاک از طریق رسانش به خاک عمقی تلف می‌شود. در این مطالعه با توجه به عدم وجود امکانات لازم، برای تعیین دمای خاک زیرین از اعداد گزارش شده در دیگر مطالعات استفاده شد که به نظر می‌رسد مناسب شرایط این مطالعه نیست و لازم است مطالعات دقیق‌تری بر

درجه حدود  $30^{\circ}\text{C}$  بین این دو دماس است.



شکل ۳- میزان تابش عبوری از قسمت‌های مختلف گلخانه در طول روز



شکل ۴- دمای اندازه‌گیری شده هوای محیط، هوای داخل گلخانه، سطح خاک و سطح داخلی دیواره شمالی در مدت آزمایش

پیشینه دمای هوای داخل گلخانه حدود  $66^{\circ}\text{C}$  بود که در ساعت ۱۳ اتفاق افتاد. همان‌طور که در متابع ذکر شده است برخورد امواج کوتاه خورشیدی به سطح خاک باعث افزایش دمای آن شده و این گرما از طریق تابش و همرفت باعث گرمایش هوای گلخانه می‌شود. با توجه به نتایج به دست آمده از این مطالعه دمای خاک گلخانه بالاترین دما را طی آزمایش داشت. همچنین اختلاف دمای خاک و دمای هوای داخل گلخانه به طور متوسط  $13^{\circ}\text{C}$  بود که این اختلاف در ساعات ظهر که اوج تابش خورشیدی وجود داشت بیشترین بود. نتایج همچنین نشان داد برای گلخانه مورد مطالعه اختلاف دمایی هوای داخل گلخانه و دمای هوای محیط به طور متوسط  $26^{\circ}\text{C}$  بود.

برای شبیه‌سازی رفتار حرارتی گلخانه از مفاهیم انتقال گرما استفاده شد و با استفاده از ورودی‌های تابش خورشیدی در سطح افق، دمای هوای محیط، دمای سطح بیرونی دیواره شمالی، دمای شبیه و سرعت باد و همچنین برخی مقادیر ثابت گلخانه، میزان دمای هوای داخلی گلخانه، دمای سطح خاک و دمای سطح داخلی دیواره شمالی پیش‌بینی شد. نتایج شبیه‌سازی رفتار حرارتی گلخانه نشان داد که مدل ارائه شده به خوبی قادر به پیش‌بینی دمای هوای داخل گلخانه و دمای سطح داخلی دیواره شمالی می‌باشد.

در شکل (۵) مقادیر اندازه‌گیری شده و پیش‌بینی شده برای دمای هوای داخلی گلخانه آورده شده است. همان‌طور که مشاهده می‌شود همبستگی بالایی بین مقادیر اندازه‌گیری شده و تخمین زده وجود

همبستگی بالایی بین مقادیر اندازه‌گیری شده و تخمین زده شده وجود دارد؛ به طوری که میانگین درصد خطای مدل ارائه شده کمتر از ۴٪ است.

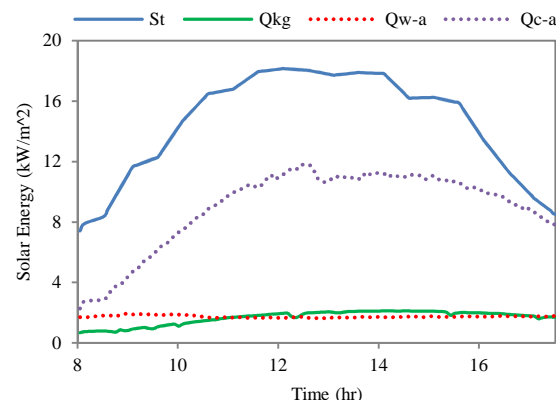
۴. بیشترین تلفات از گلخانه به بیرون از پوشش اتفاق می‌افتد؛ به طوری که از کل تابش خورشیدی ورودی به داخل گلخانه حدود ۶۱٪ از طریق همرفت و تلفات تابشی از سطح پوشش به بیرون تلف می‌شود.

## ۵- نمادهای انگلیسی

|  |               |
|--|---------------|
| مساحت ( $m^2$ )                              | A             |
| گرمای ویژه ( $Jkg^{-1}K^{-1}$ )              | C             |
| ضریب دید (-)                                 | F             |
| کسر تابش فرویدی به دیواره شمالی (-)          | $F_n$         |
| توان گسیل جسم سیاه ( $Wm^{-2}$ )             | $E_b$         |
| ضریب انتقال گرمای همرفتی ( $Wm^{-2}K^{-1}$ ) | $h_{co}$      |
| تابندگی سطح ( $Wm^{-2}$ )                    | J             |
| رسانندگی گرمایی ( $Wm^{-1}K^{-1}$ )          | k             |
| جرم (kg)                                     | M             |
| انتقال گرمای همرفتی (W)                      | $q_{co}$      |
| میزان تابش حرارتی خالص (W)                   | $q_r^{net}$   |
| نرخ انتقال گرمای رسانشی به خاک عمقی (W)      | $q_{kg}$      |
| تابش خورشیدی جذب شده در پوشش (W)             | $q_{sc}$      |
| تابش خورشیدی جذب شده در خاک (W)              | $q_{sg}$      |
| تابش خورشیدی جذب شده در دیواره شمالی (W)     | $q_{sw}$      |
| نرخ انتقال گرمای تابشی از سطح (W)            | Q             |
| مقاومت سطح در برابر تابش ( $m^{-2}$ )        | R             |
| شار تابش خورشیدی کل در سطح خارجی پوشش (W)    | $S_t$         |
| شار تابش خورشیدی کل در داخل گلخانه (W)       | $S_{ti}$      |
| دما ( $^{\circ}C$ )                          | T             |
| زمان (s)                                     | t             |
| سرعت باد ( $ms^{-1}$ )                       | V             |
| زمان (s)                                     | t             |
| ضخامت دیواره شمالی (m)                       | x             |
| عمق خاک (m)                                  | z             |
| نمادهای یونانی                               |               |
| ضریب جذب پوشش به تابش خورشیدی (-)            | $\alpha_c$    |
| ضریب جذب پوشش به تابش حرارتی (-)             | $\alpha_{ct}$ |
| ضریب جذب خاک به تابش خورشیدی (-)             | $\alpha_g$    |
| ضریب جذب دیواره شمالی به تابش خورشیدی (-)    | $\alpha_w$    |
| ضریب جذب دیواره شمالی به تابش حرارتی (-)     | $\alpha_{wt}$ |
| ضریب گسیلنندگی (-)                           | $\epsilon$    |
| ثابت استفان-بولتسمن ( $Wm^{-2}K^{-4}$ )      | $\sigma$      |
| زیرنویسها                                    |               |
| هوای محیط                                    | a             |
| پوشش گلخانه                                  | c             |
| کف گلخانه                                    | g             |
| هوای داخل گلخانه                             | r             |

روی دمای خاک عمقی صورت پذیرد.

شکل (۶) تلفات در قسمتهای مختلف گلخانه را نشان می‌دهد. همان‌طور که مشاهده می‌شود بیشترین تلفات از پوشش گلخانه اتفاق می‌افتد (Q<sub>w-a</sub>). نتایج نشان داد که حدود ۶۱٪ از تابش خورشیدی ورودی به داخل گلخانه از طریق پوشش گلخانه به بیرون تلف می‌شود. این اختلاف حرارت به صورت همرفت از سطح پوشش و همچنین تبادل تابشی با آسمان است. تلفات از دیواره شمالی و همچنین از کف گلخانه به خاک عمقی بخش کمتری از تلفات را شامل می‌شود. نتایج نشان داد که تلفات از دیواره شمالی و کف گلخانه به ترتیب ۱۱٪ و ۱۲٪ از کل تابش ورودی را به خود اختصاص داده‌اند. همان‌طور که مشاهده می‌شود بخش اعظم تلفات از طریق پوشش گلخانه اتفاق می‌افتد. استفاده از پرده‌های حرارتی داخلی یا خارجی می‌تواند عامل مهمی در کاهش این تلفات به خصوص در شب‌های سرد زمستان و کاهش میزان انرژی مصرفی در گلخانه‌های کشاورزی باشد. در مطالعه‌ای که در کشور عربستان انجام شد سهم تلفات از پوشش یک گلخانه که حاوی گیاه بود حدود ۳۳٪/۵ عنوان شد. همچنین در این مطالعه گزارش شد که حدود ۳۷٪ از تابش ورودی به داخل گلخانه در گیاهان جذب می‌شود و تنها ۱٪ از کل تابش ورودی در هوای گلخانه جذب می‌شود [۳].



شکل ۶- تلفات حرارتی از قسمتهای مختلف گلخانه در مدت آزمایش

## ۴- نتیجه گیری

هدف از انجام این مطالعه ارائه یک مدل دینامیکی برای شبیه‌سازی انتقال گرما و تخمین دمایهای داخلی گلخانه شامل دمای هوای گلخانه، دمای سطح خاک و دمای سطح داخلی گلخانه بود. بدین منظور معادلات تعادل انرژی در هر یک از این زیر بخش‌های گلخانه نوشته شد. مهم‌ترین نتایج این تحقیق را می‌توان به صورت زیر خلاصه کرد.

۱. در گلخانه مورد مطالعه بیشترین تابش خورشیدی از سقف جنوبی جذب می‌شود؛ به طوری که حدود ۷۲٪ تابش دریافتی در طول روز از این قسمت جذب می‌شود. همچنین کمترین میزان جذب تابش از دیواره جنوبی اتفاق می‌افتد (حدود ۰.۷٪).

۲. اختلاف دمای هوای داخل گلخانه با هوای محیط به طور متوسط  $26^{\circ}C$  بود که این اختلاف مخصوصاً در ساعت‌های نزدیک ظهر خورشیدی که تابش خورشیدی حداکثر بود ماقریم بود.

۳. نتایج شبیه‌سازی نشان داد برای دمای داخلی گلخانه

- 2367–2373, 2010.
- [10] Singh G., Singh P. P., Lubana P.P. S., and Singh K. G., Formulation and validation of mathematical model of microclimate in a greenhouse, *Renew Energy*, Vol. 31, pp. 1541–1560, 2006.
- [11] Ghosal M. K., and Tiwari G. N., Modeling and parametric studies for thermal performance of an earth to air heat exchanger integrated with a greenhouse, *Energy Convers Manage*, Vol. 47, pp. 1779–1798, 2006.
- [12] Tanwanichkul B., Thepa S., and Rordprapat W., Thermal modeling of the forced convection Sandwich Greenhouse drying system for rubber sheets, *Energy Convers Manage*, Vol. 74, pp. 511–523, 2013.
- [13] Singh R. D., and Tiwari G. N., Thermal heating of controlled environment greenhouse: a transient analysis, *Energy Convers Manage*, vol. 41, pp. 505–522, 2000.
- [14] Tiwari G. N., Din M., Shrivastava N. S. L., Jain D., and Soda M. S., Evaluation of solar fraction ( $F_n$ ) for north wall of a controlled environment greenhouse: an experimental validation, *Int J Energy Res*, Vol. 26, pp. 203–215, 2002.
- [15] Gupta R., Tiwari G. N., Kumar A., and Gupta Y., Calculation of total solar fraction for different orientation of greenhouse using 3D-shadow analysis in Auto-CAD, *Energy Buildings* Vol. 47, pp. 27–34, 2012.
- [16] Chou S. K., Chau K. J., Ho J. C., and Ooi C. L., On the study of an energy-efficient greenhouse for heating and dehumidification application, *Appl Energy*, Vol. 77, pp. 355–373, 2004.
- [17] Duffie J. A., and Beckman W. A., *Solar Engineering of Thermal Processes*, fourth edition", John Wiley & Son, New Jersey, 2013.
- [18] Gupta A., and Tiwari, G. N., Computer model and its validation for prediction of storage effect of water mass in a greenhouse: a transient analysis, *Energy Convers Managet* Vol. 43, pp. 2625–2640, 2002.
- [19] Mottaker H. G., Ajabshirchi Y., Ranjbar S. F., Matloobi M., Amini C., Determining of total solar fraction and solar fraction for north wall of different-shaped greenhouses using Auto-CAD software, *ISESCO J Sci Tech*. In Press.

|                                |     |
|--------------------------------|-----|
| دیواره شمالی گلخانه            | w   |
| سطح داخلی دیواره شمالی گلخانه  | wi  |
| سطح بیرونی دیواره شمالی گلخانه | wo  |
| آسمان                          | sky |
| خاک زیرین                      | 0   |

## ۶- مراجع

- [1] Joudi K. A., and Farhan A. A., A dynamic model and an experimental study for the internal air and soil temperatures in an innovative greenhouse, *Energy Convers Manage*, Vol. 91, pp. 76–82, 2015.
- [2] Mashonjowa E., Ronsse F., Milford J. R., and Pieters JG., Modelling the thermal performance of a naturally ventilated greenhouse in Zimbabwe using a dynamic greenhouse climate model, *Sol Energy*, Vol. 91, pp. 381–393, 2013.
- [3] Abdel-Ghany A. M., and Al-Helal I. M., Solar energy utilization by a greenhouse: General relations, *Renew Energy*, Vol. 36, pp. 189–196, 2011.
- [4] Trigui M., Barrington S., and Gauthier L., A strategy for greenhouse climate control. Part I: model development, *J Agric Engine Res*, Vol. 78, pp. 407–413, 2001.
- [5] Abdel-Ghany A. M., and Kozai T., Dynamic modeling of the environment in a naturally ventilated, fog-cooled greenhouse, *Renew Energy*, vol. 31, pp. 1521–1539, 2006.
- [6] Sengar S. H., and Kothari S., Thermal modeling and performance evaluation of arch shape greenhouse for nursery raising, *Afr J Math Comput Sci Res*, Vol. 1, pp. 1–9, 2008.
- [7] Sethi V. P., and Sharma S. K., Thermal modeling of a greenhouse integrated to an aquifer coupled cavity flow heat exchanger system, *Sol Energy*, Vol. 81, pp. 723–741, 2007.
- [8] Sethi V. P., On the selection of shape and orientation of a greenhouse: Thermal modeling and experimental validation, *Sol Energy*, vol. 83, pp. 21–38, 2009.
- [9] Singh R. D., and Tiwari G.N., Energy conservation in the greenhouse system: A steady state analysis, *Energy*, vol. 35, pp.